

МГУ им. М. В. Ломоносова
Факультет вычислительной математики и кибернетики
Конференция «Программирование и вычислительная математика»,
посвящённая 100-летию со дня рождения Николая Павловича Трифонова.

Методы глубокого обучения для обнаружения аномалий в данных журналов приложений в задачах надёжности.

*Горохов Олег Евгеньевич,
к.ф.-м.н., доцент кафедры ИИТ
Петровский Михаил Игоревич,
д-р ф.-м.н., зав. кафедрой ИИТ
Машечкин Игорь Валерьевич*

2025 г.

Содержание

- Введение.
- Аналитический обзор решений задачи мониторинга надёжности программных комплексов на основе выявления аномалий в потоках данных.
- Построение нейросетевого кластеризующего автокодировщика для мониторинга надёжности автоматизированных систем.
- Программная реализация и экспериментальная оценка предлагаемого решения.
- Заключение.



Содержание

- **Введение.**
- Аналитический обзор решений задачи мониторинга надёжности программных комплексов на основе выявления аномалий в потоках данных.
- Построение нейросетевого кластеризующего автокодировщика для мониторинга надёжности автоматизированных систем.
- Программная реализация и экспериментальная оценка предлагаемого решения.
- Заключение.

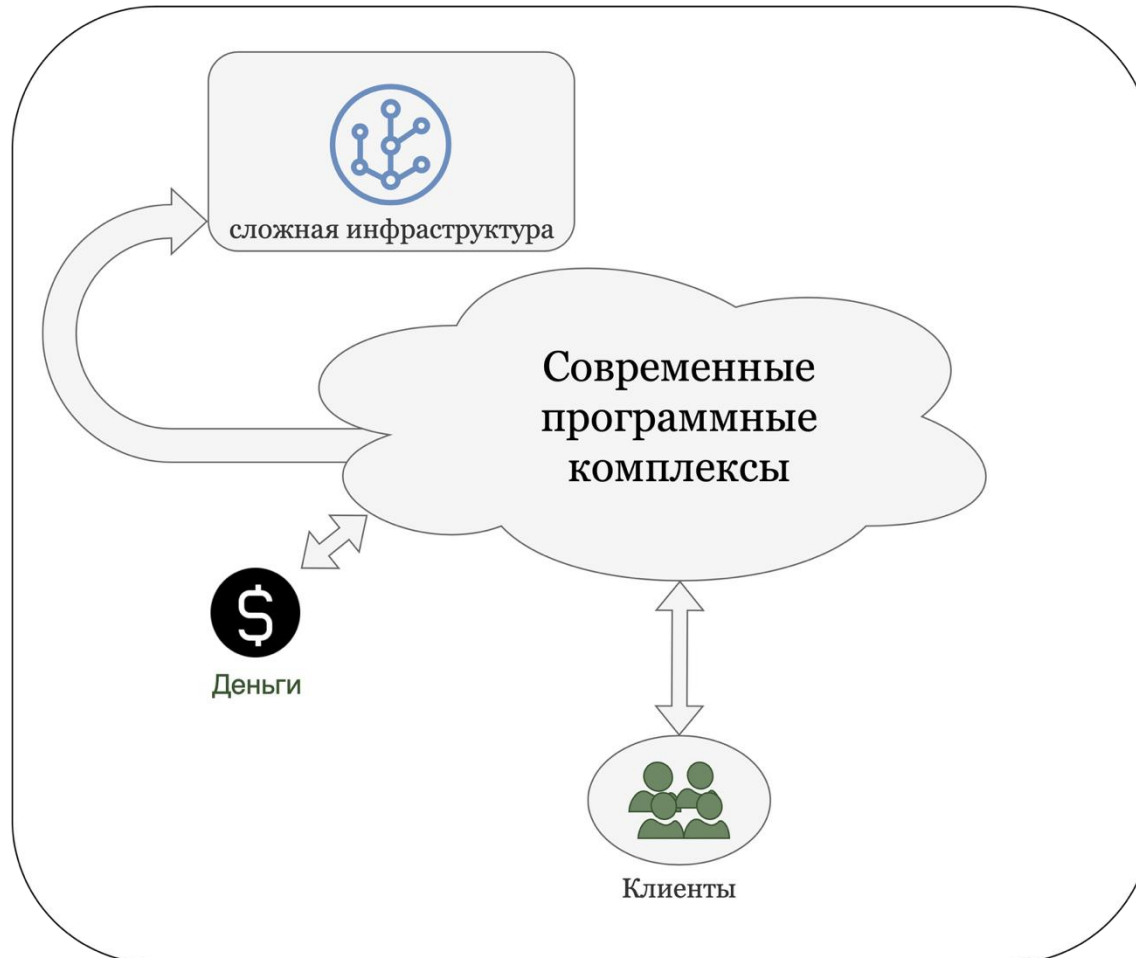


Программные комплексы

- **Программный компонент** – программа, рассматриваемая как единое целое, выполняющая законченную функцию и применяемая самостоятельно или в составе комплекса¹.
- **Программный комплекс** – программа, состоящая из двух или более компонентов и (или) комплексов, выполняющих взаимосвязанные функции, и применяемая самостоятельно или в составе другого комплекса¹.
- Тенденции развития программных комплексов:
 - Расширение области использования;
 - Увеличение объёмов данных;
 - Увеличение числа пользователей.

1. ГОСТ 19.101-77. Межгосударственный стандарт. Единая система программной документации. Виды программ и программных документов.

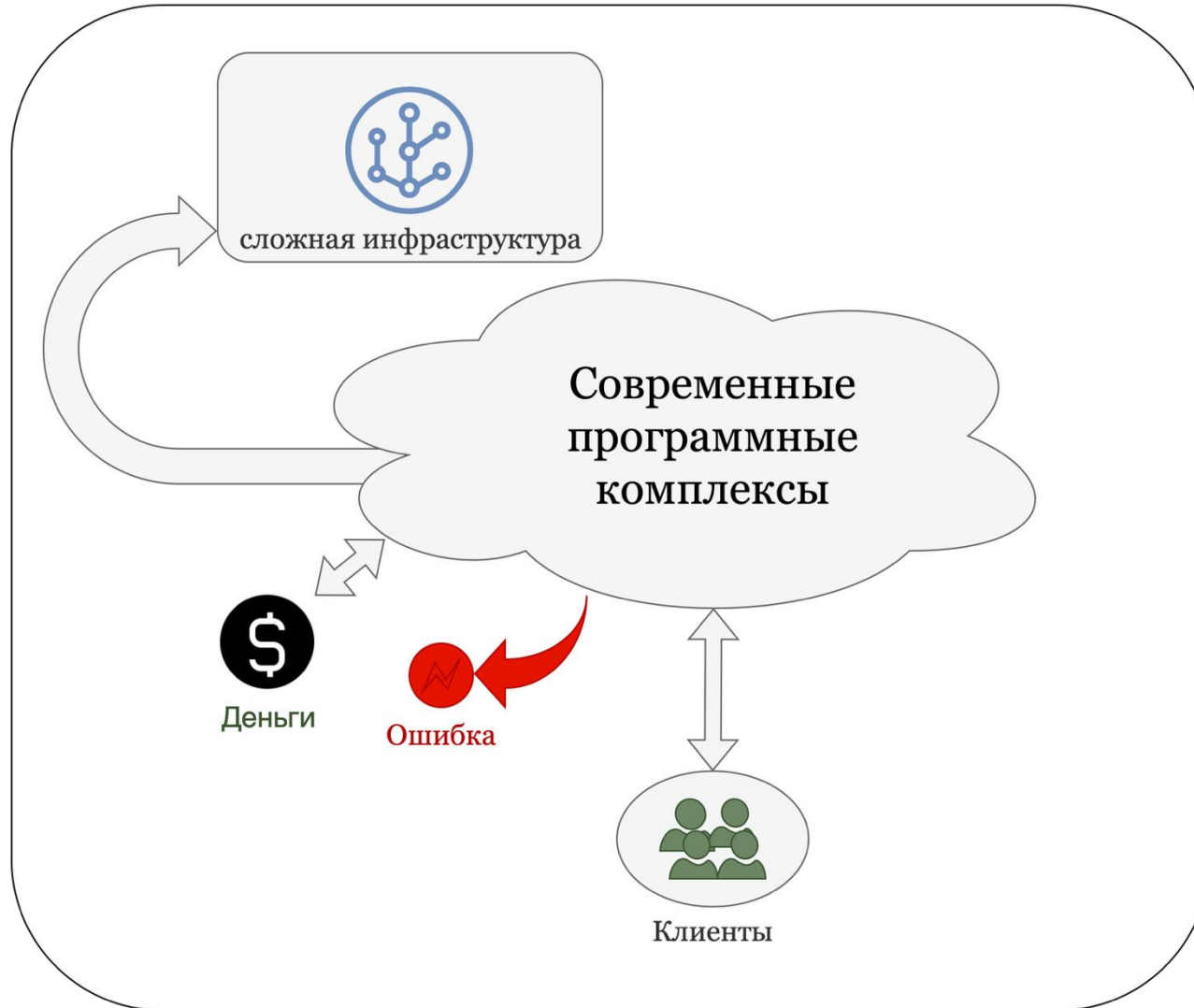
Современные программные комплексы (1)^{1, 2}



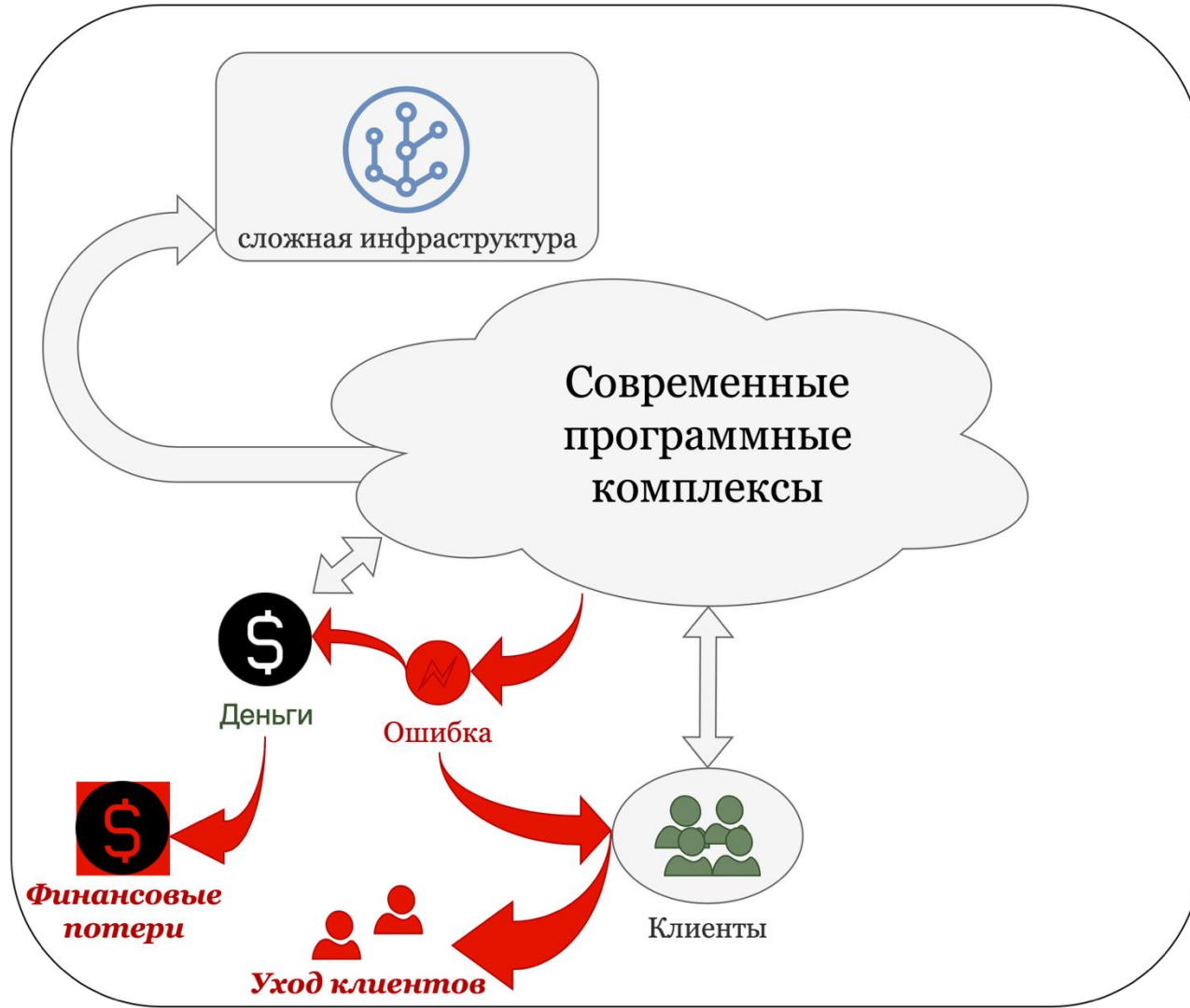
1. Le V. H., Zhang H. Log-based anomaly detection with deep learning: how far are we? //Proceedings of the 44th International Conference on Software Engineering. – 2022. – С. 1356-1367.

2. He S. et al. Identifying impactful service system problems via log analysis //Proceedings of the 2018 26th ACM Joint Meeting on European Software Engineering Conference and Symposium on the Foundations of Software Engineering. – 2018. – С. 60-70.

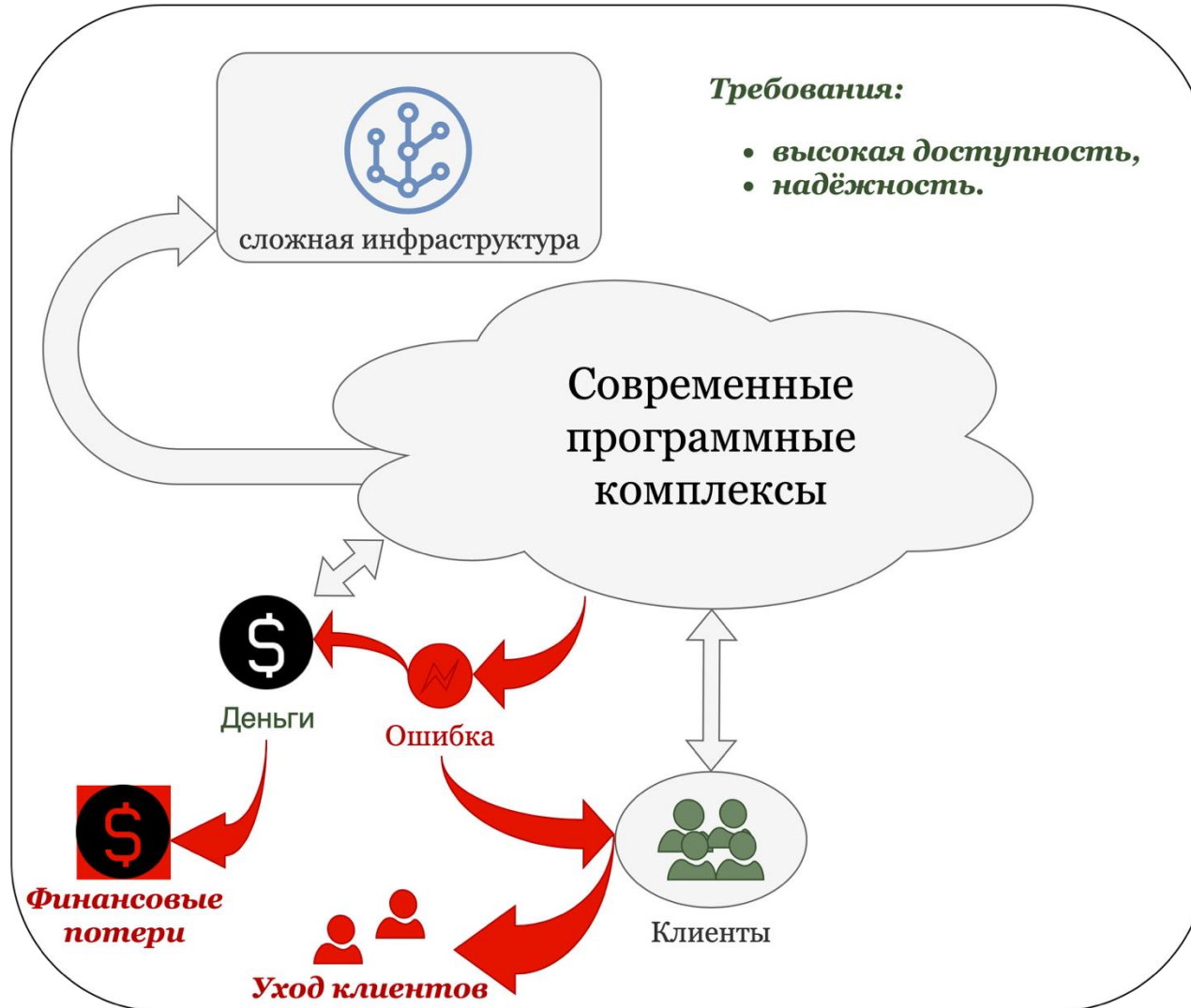
Современные программные комплексы (2)



Современные программные комплексы (3)



Современные программные комплексы (4)

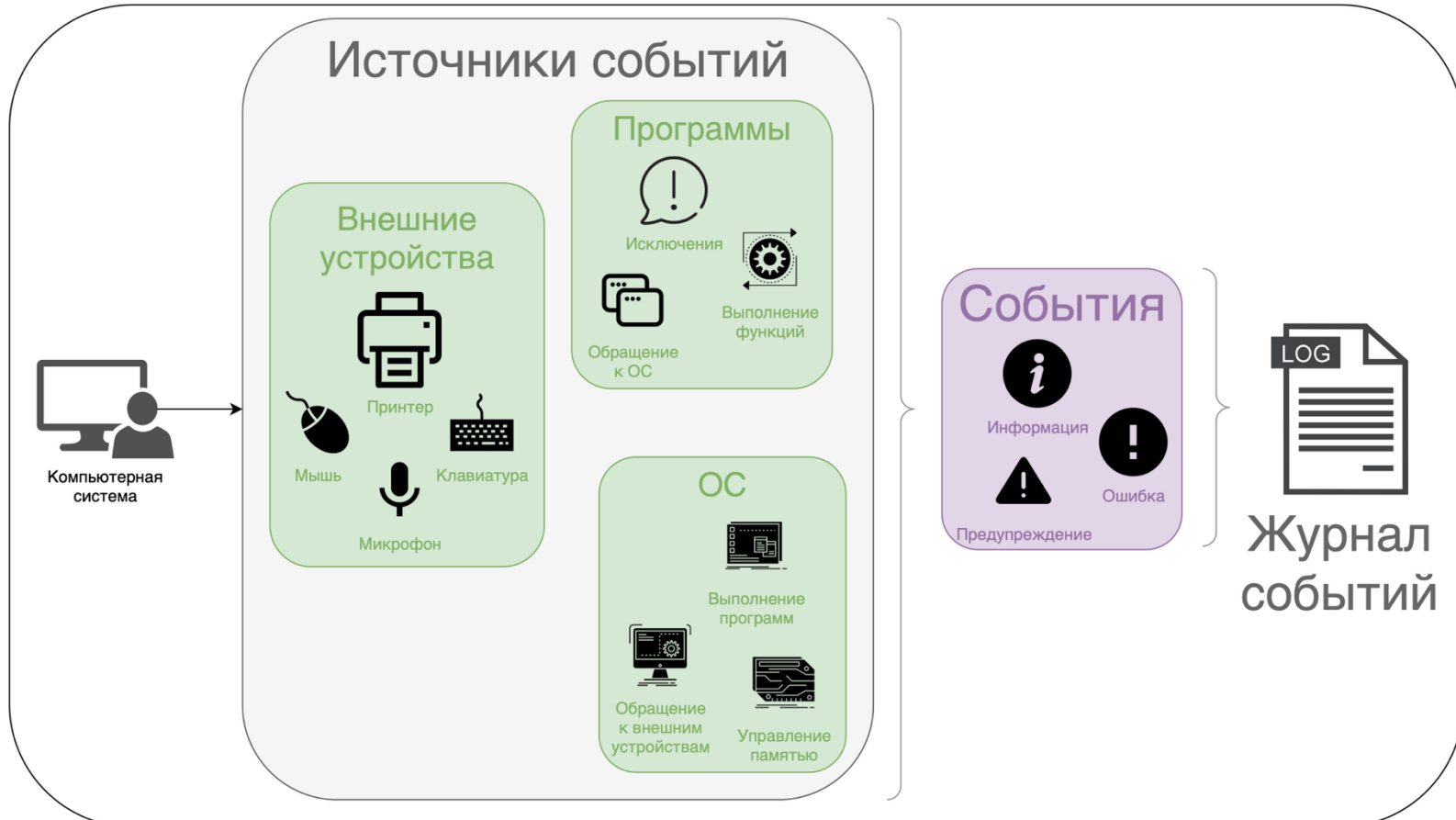


Отказы

- Ключевые ошибки – отказ системы.
- *Отказ* – событие, заключающееся в нарушении работоспособного состояния объекта¹.
- *Предотказное состояние* – состояние объекта, характеризуемое повышенным риском его отказа¹.
 - Вероятность отказа – вероятность того, что система находится в предотказном состоянии.
- Отказы происходят регулярно в различных программных системах и отраслях.

1. Г. Н. Черкесов, В. А. Нетес, В. А. Шпер, Ю. И. Таразьев, Г. Ф. Ковалёв, Г. А. Федотова, И. Н. Долгополов, И. Б. Шубинский и А. В. Батурина, «ГОСТ 27.002-2015 Надежность в технике (ССНТ). Термины и определения (с Поправкой)», 1 Январь 2021. [В Интернете]. [Дата обращения: 6 Ноябрь 2022].

Данные о работе комплексов хранятся в журналах событий (логов).



Актуальность

- Данные журналов событий – **поток структурированных и сложно структурированных сообщений.**
 - Представимы в виде потока текстовых описаний событий с дополнительной служебной информацией (идентификатор устройства, тип события и т.д.).
- Обнаружение предотказного состояния системы сводится к решению задачи **обнаружения аномалий в потоках данных.**
- Классические подходы машинного обучения
 - не позволяют добиться хороших результатов,
 - привязаны к формату журналов в конкретной системе,
 - не устойчивы к выбросам в обучающей выборке.
- Эффективными на данный момент являются **устойчивые к выбросам подходы, основанные на архитектуре кодировщиков и методах нечёткой кластеризации.**

Постановка задачи

- Исследование и разработка методов глубокого обучения для обнаружения аномалий в данных журналов приложений для задач надёжности программных комплексов.

Содержание

- Введение.
- **Аналитический обзор решений задачи мониторинга надёжности программных комплексов на основе выявления аномалий в потоках данных.**
- Построение нейросетевого кластеризующего автокодировщика для мониторинга надёжности автоматизированных систем.
- Программная реализация и экспериментальная оценка предлагаемого решения.
- Заключение.



Обзор. Подзадачи



Сбор данных журналов

Сложно структурированные **текстовые описания** происходящих событий
Хранятся в файлах либо базах данных.



Обработка

Извлечение шаблонов типовых событий
с применением **регулярных выражений**.



Извлечение признаков

Построение **векторных представлений** блоков событий



Обнаружение аномалий

В последовательности блоков событий,
с применением **одноклассовой классификации**.

Существующие решения.

Извлечение групповых признаков блоков событий.

- Классические подходы к векторизации текстовых данных (TF-IDF, мешок слов):
 - не учитывают последовательность событий.
- Подходы, основанные на глубоком обучении (Трансформеры):
 - учитывают последовательность событий,
 - показывают хорошие результаты,
 - обладают высокой вычислительной сложностью.
- **Автокодировщики:**
 - строят информативное векторное представление для блоков событий,
 - в режиме одноклассовой классификации строят тождественное преобразование для нормальных блоков событий,
 - не устойчивы к выбросам.
- **Глубокое обучение (свёрточные нейронные сети):**
 - показывают высокие результаты при работе с текстовыми данными,
 - можно использовать для построения признаков в автокодировщике,
 - позволяют получать решения, которые удобно распараллеливать.

Существующие решения. Обнаружение аномалий.

- Одноклассовая классификация.
- Одноклассовый SVM:
 - Модификация классического SVM
 - $\min_{w, \rho, \xi_i} \left[\frac{1}{2} \|w\|^2 + \frac{1}{vl} \sum_{i=1}^l \xi_i - \rho \right], (w * \Phi(x_i)) \geq \rho - \xi_i, i = 1, \dots, l; \xi_i \geq 0,$
 - x_i - feature vector, $v \in (0, 1)$ – outliers percent, ρ – hyperplane shift, ξ_i - penalty variables,
 - $f(x) = sign(w * \Phi(x) - \rho);$
 - построение модели для большого объёма данных занимает очень много времени (сложность достигает $O(N^2)$),
 - не позволяет добиться хороших результатов.
- Нечёткая кластеризация:
 - построение нечётких кластеров данных с помощью различных модификаций алгоритма,
 - устойчивы к выбросам,
 - показывают хорошие результаты,
 - построение модели для большого объёма данных занимает очень много времени (сложность достигает $O(N^2)$),
 - нет возможности встраивания алгоритма в подходы глубокого обучения.
 - Возможно встроить в архитектуру автокодировщика для построения нечёткого кластера полученных кодировщиком признаков.

Обзор. Выводы.

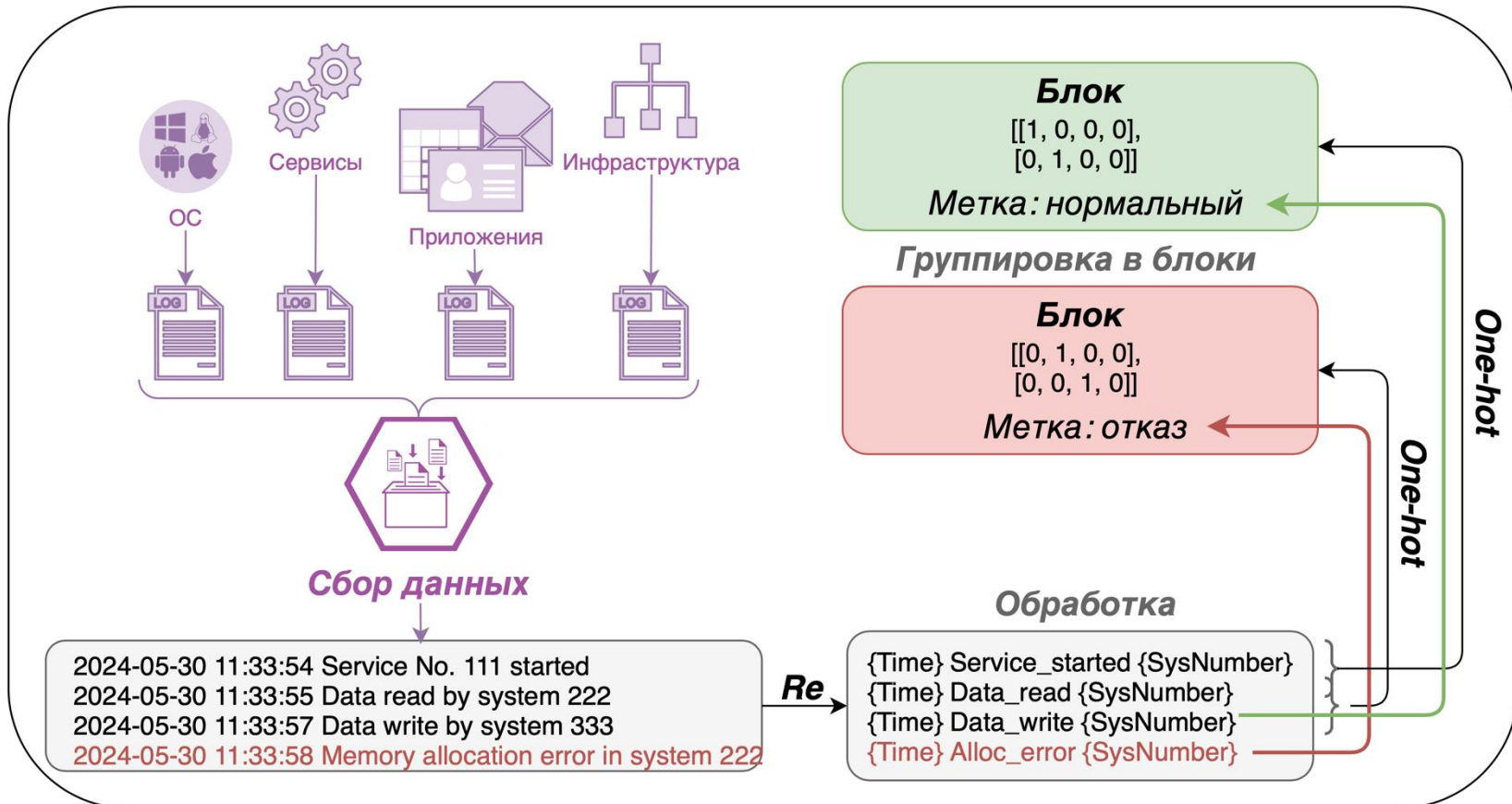
- Предлагается построить единое решение, основанное на автокодировщике и самостоятельно реализованном слое, осуществляющем нечёткую кластеризацию.
- Необходимо провести экспериментальное исследование на выбранных наборах данных:
 - Выбрать лучшую конфигурацию решения.
 - Сравнить результаты с существующими подходами.
 - Оценить производительность предложенного решения.
- Необходимо разработать экспериментальный образец программного комплекса для решения задачи обнаружения предотказного состояния программных комплексов.

Содержание

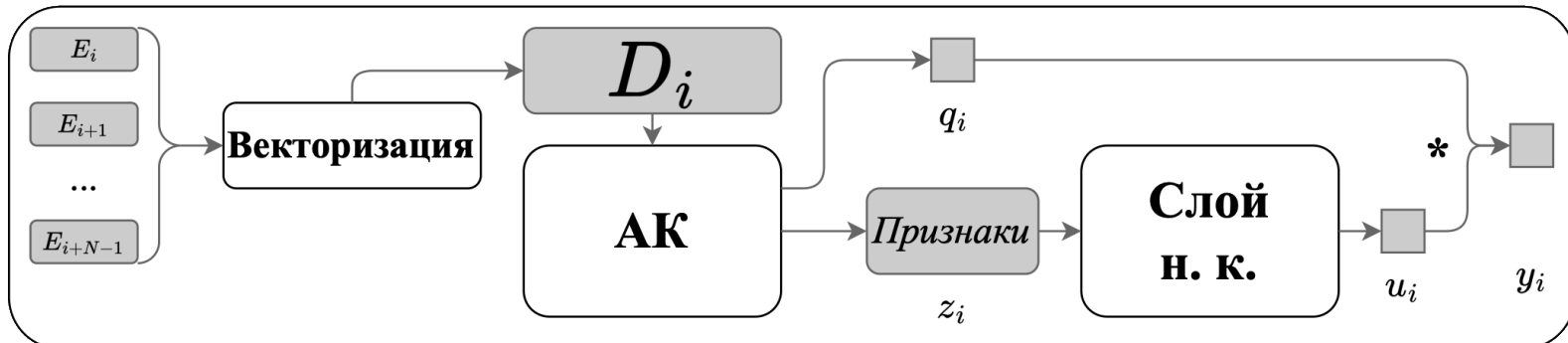
- Введение.
- Аналитический обзор решений задачи мониторинга надёжности программных комплексов на основе выявления аномалий в потоках данных.
- **Построение нейросетевого кластеризующего автокодировщика для мониторинга надёжности программных комплексов.**
- Программная реализация и экспериментальная оценка предлагаемого решения.
- Заключение.
- Список литературы.



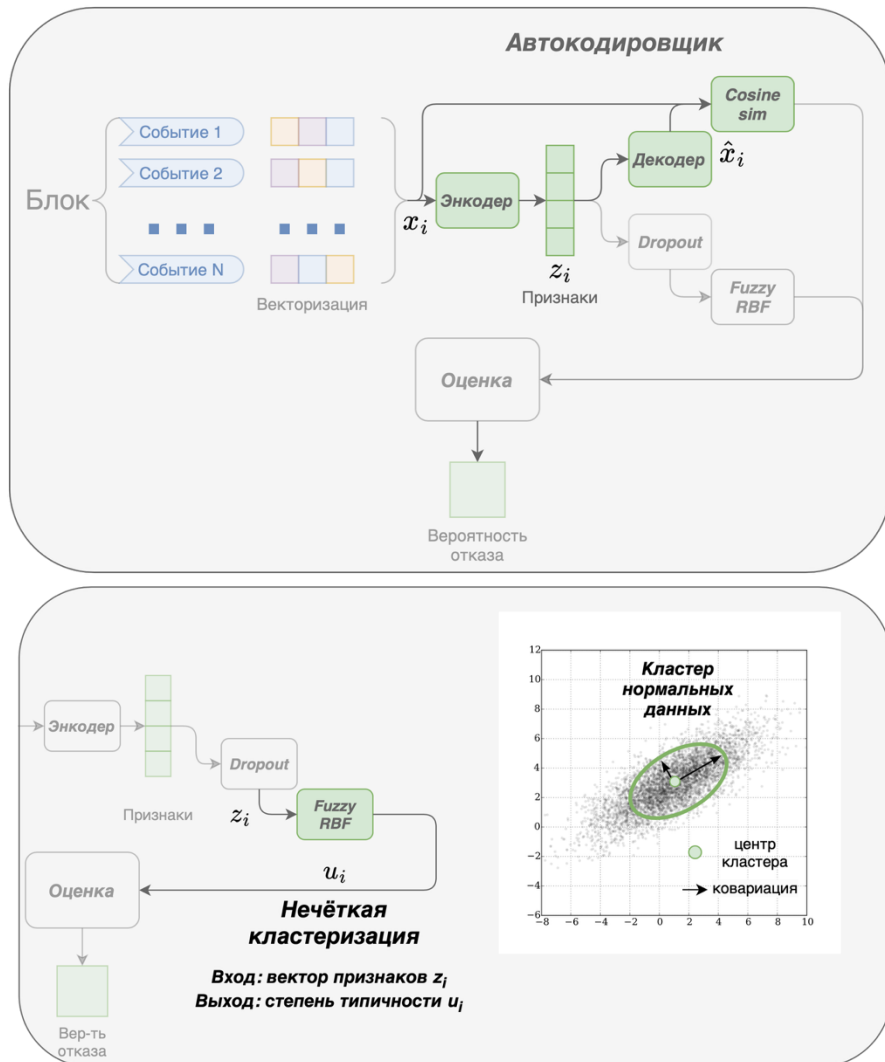
Сбор данных, обработка, векторизация и группировка



Предложенное решение. Автокодировщик с применением нечёткой кластеризации.



Извлечение признаков, нечёткая кластеризация.



Одноклассовая классификация:

$$\sum_{j=1}^F \mathcal{L}_{L2}^j + \mathcal{L}_{fuzzy} + \mathcal{L}_{out} \rightarrow \min_{a, u, \mu, C}$$

\mathcal{L}_{L2}^j – ошибка L2-регуляризации j -го свёрточного слоя

\mathcal{L}_{fuzzy} – ошибка нечёткой кластеризации.

$\mathcal{L}_{out} = \sum_{i=1} (u_i \cos(x_i, \hat{x}_i) - 1)^2$ – ошибка реконструкции автокодировщика.

u_i – степень типичности.

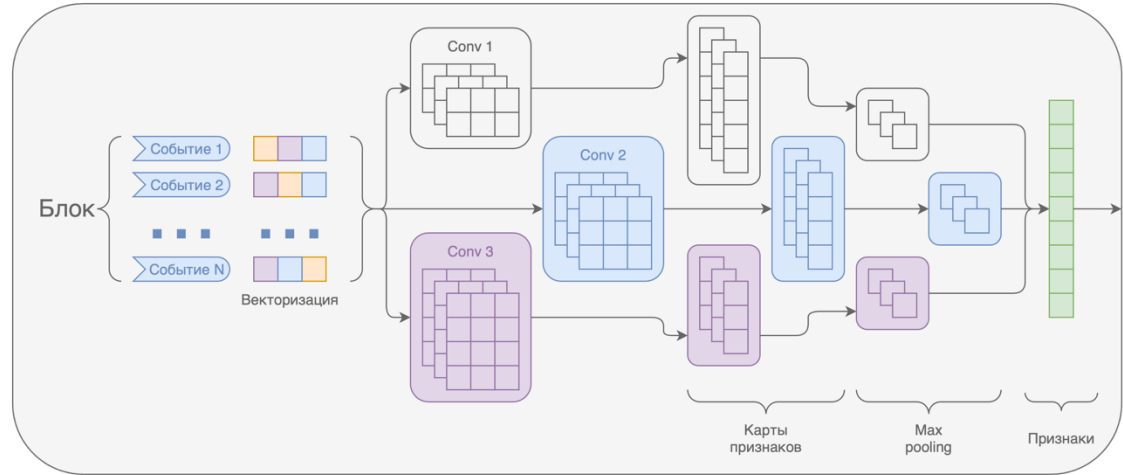
Алгоритм оптимизации – RMSProp.

Исследование предлагаемого решения. Конфигурация.

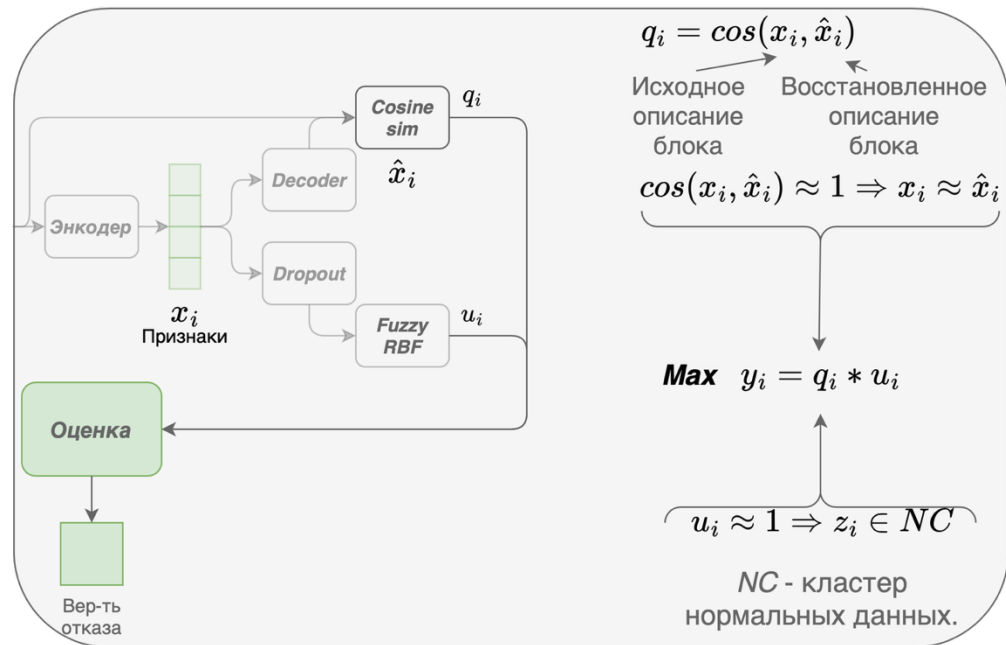
- Вид автокодировщика (симметричный, асимметричный, со свёрткой и без неё).
- Вид алгоритма нечёткой кластеризации:
 - Отсутствие кластеризации
 - Классический подход к нечёткой кластеризации:
 - $\min_{U,a,\mu} \sum_i u_i^m * d_i(a) + \mu * \sum_i (1 - u_i)^m,$
 - $u_i = \left[1 + \left(\frac{d_i(a)}{\mu} \right)^{\frac{1}{m-1}} \right]^{-1}$
 - C-Means кластеризация Густавсона Касселя с использованием матрицы ковариаций и расстояния Махалонобиса:
 - $d_j = \|z_i - a\|_C^2 = (z_i - a)^T * C^{-1} * (z_i - a),$
 - С – матрица ковариаций.
 - Вид кластеризации: однокластерная, многокластерная.
- Функции потерь: неробастные, робастные.
- Поиск лучшей конфигурации – на целевых наборах данных, с вычислением метрик ROC-AUC и PR-AUC.

Параллельный свёрточный автокодировщик.

**Слои
параллельной свёртки**



Оценка аномальности



Предложенное решение.

Результаты.

- Автокодировщик с применением нечёткой кластеризацией признаков с применением методов C-Means кластеризации Густавсона-Кесселя.
- Экспериментальное исследование предложенного решения:
 - Определение и исследование модификаций предложенного решения на выбранных наборах данных.
 - Построение программной реализации предложенного решения, оценка производительности и исследование технических средств, оптимизирующих время работы предложенного решения.

Содержание

- Введение.
- Аналитический обзор решений задачи мониторинга надёжности программных комплексов на основе выявления аномалий в потоках данных.
- Построение нейросетевого кластеризующего автокодировщика для мониторинга надёжности автоматизированных систем.
- **Программная реализация и экспериментальная оценка предлагаемого решения.**
- Заключение.
- Список литературы.



Экспериментальное исследование и программная реализация. Цели.

- Оценка пригодности для решения задачи (значения метрик больше 0.85).
- Сравнение предлагаемого решения с существующими подходами.
- Описание программной реализации предложенного решения.
- Исследование времени обучения и применения построенного решения.

Используемые наборы данных¹.

Данные о работе HDFS:

- Система работает на 203 узлах Amazon EC2;
- ~ 11 000 000 событий;
- ~ 16 000 отказов;
- Ручная разметка аномальных блоков событий;
- Примеры отказов: machine down, network disconnection, data read/write error.

Данные о работе BGL (BlueGene/L):

- ~ 5 000 000 событий;
- ~ 21 000 отказов;
- Ручная разметка аномальных событий.
- Примеры отказов: fan module error, memory error.

HPC

- Данные о работе System 20 на кластере HPC;
- 49 узлов, 6152 ядра, 128 Гб на каждый узел;
- ~ 450 тыс. событий;
- ~ 100 тыс. отказов;
- Ручная разметка отказов;
- Примеры отказов: server file system failure, SRM console error.

Экспериментальная оценка.

- Метрика качества: ROC AUC.
- Оценка распределения метрики:
 - разбиение тестовой выборки на подвыборки,
 - оценка медианы, Q1 и Q3 для значений метрик на подвыборках.
- Рассматриваемые алгоритмы:
одноклассовый SVM, классический Fuzzy,
LogBERT (трансформер).
- Подбор гиперпараметров – на
валидационной выборке.

Сравнение с существующими подходами

Набор данных	Подход	ROC-AUC			
		Медиана	Q1	Q3	Среднее
HDFS1	OC-SVM	0.833	0.826	0.837	0.83
	Fuzzy	0.858	0.851	0.862	0.85
	<i>LogBERT</i>	0.9	0.894	0.907	0.9
	<i>SymCNNAE</i>	0.975	0.971	0.974	0.97
BGL	OC-SVM	0.783	0.779	0.789	0.78
	Fuzzy	0.834	0.821	0.845	0.82
	<i>LogBERT</i>	0.908	0.901	0.912	0.9
	<i>SymCNNAE</i>	0.973	0.962	0.978	0.975
HPC	OC-SVM	0.953	0.95	0.955	0.95
	Fuzzy	0.947	0.945	0.949	0.95
	<i>LogBERT</i>	0.962	0.96	0.968	0.96
	<i>SymCNNAE</i>	0.968	0.964	0.969	0.968

Программная реализация. Особенности

- Языки программирования/разметки:
 - Python 3.9 (NumPy, SciPy, Pandas, matplotlib, scikit-learn, Keras Django).
 - Суммарный объем кода: порядка 6500 строк.
 - HTML
 - Суммарный объем кода: порядка 400 строк.
- ОС Ubuntu 20.04.4 с ядром Linux версии 5.4.0-153-generic.
- ЦП AMD EPYC 7532 32.
- 256 Гб оперативной памяти типа DDR4.
- Построение, обучение и применение моделей: NVIDIA RTX A6000 и NVIDIA RTX A100 с 48 Гб оперативной памяти.

Экспериментальная оценка времени обучения (на 1 эпоху)*

L	1xA6000	1xA100	2xA100	4xA100	8xA100
1	13.8	2.27	2.24	2.62	3.99
2	27.9	3.44	2.56	2.46	3.38
5	68.52	7.59	4.75	3.8	4.39
10	137.81	14.59	8.58	6.11	6.05
50	682.17	10.48	38.59	23.56	18.75
100	1365.4	152	75	42	27.52

*Для экспериментов с несколькими GPU используется стратегия зеркалирования.

Размер блока N=20, размер векторного представления одного блока M=100.

L – число событий (в тысячах).

Время указывается в секундах, усреднённое по 100 независимым запускам.

Экспериментальная оценка.

Выводы.

- Предлагаемое решение (SymCNNAE) удовлетворяет критерию пригодности:
 - На всех наборах данных метрики превосходят 0.9
- SymCNNAE показывает лучший результат по сравнению с существующими подходами.
- Разброс результатов (средняя разница Q3-Q1) не превосходит 0.06.
- SymCNNAE показывает достаточно быструю скорость обучения и применения даже на одной видеокарте A6000 (~3.8 часов на 10 эпох обучения):
 - Использование стратегии зеркалирования позволяет ускорить обучение до 4.5 минут на 8 видеокартах A100.
- Время применения алгоритма на 1000 событиях занимает 1.5 секунды (на видеокарте A6000).

Результаты

- Предложен метод мониторинга надёжности программных систем:
 - построение признаков: симметричный свёрточный автокодировщик
 - эффективный способ построения признаков (параллельная свёртка),
 - минимизация потерь при сжатии (автокодировщик);
 - обнаружение предотказного состояния – слой нечёткой кластеризации:
 - оценка степени типичности,
 - устойчивость к выбросам в обучающей выборке.
- Разработана архитектура, реализован экспериментальный образец программного комплекса мониторинга надёжности программных систем:
 - значение целевых метрик превосходит 0.9,

Спасибо за
внимание!

Результаты (2)

- Результаты опубликованы в 12 печатных работах, а также докладывались на 12 научных конференциях.
- Предложенное решение представлялось на конференции Lake Baikal Summit 2024:
 - Петровский М.И., Машечкин И.В., *Горохов О.Е.*, Васильев Ю.А. Machine learning methods to monitor, analyze, and predict computer systems operating behavior.
- 1 статья опубликована в журнале, входящем в **Q1**, индексируемом в Scopus, WoS и др.:
 - *Gorokhov O.*, Petrovskiy M., Mashechkin I., Kazachuk M. Fuzzy CNN Autoencoder for Unsupervised Anomaly Detection in Log Data // Mathematics. Special Issue "Mathematical Modeling, Optimization and Machine Learning, 2nd Edition".

Результаты (3)

- 4 статьи индексируются в WoS, Scopus или RSCI:
 - **Gorokhov O.**, Petrovskiy M., Mashechkin I. Convolutional neural networks for unsupervised anomaly detection in text data //International Conference on Intelligent Data Engineering and Automated Learning. – Cham : Springer International Publishing, 2017. – С. 500-507.
 - Kazachuk M., Petrovskiy M., Mashechkin I., **Gorokhov O.** Novelty Detection Using Elliptical Fuzzy Clustering in a Reproducing Kernel Hilbert Space //Intelligent Data Engineering and Automated Learning—IDEAL 2018: 19th International Conference, Madrid, Spain, November 21–23, 2018, Proceedings, Part II 19. – Springer International Publishing, 2018. – С. 221-232.
 - Казачук М. А., Петровский М. И., Машечкин И. В., **Горохов О. Е.** Методы поиска исключений в потоках сложноструктурированных данных //Вестник Московского университета. Серия 15. Вычислительная математика и кибернетика. – 2019. – №. 3. – С. 17-28.
 - **Gorokhov O.E.**, Kazachuk M.A., Mashechkin I.V., Petrovskiy M.I. Parallel Autoencoder for Unsupervised Anomaly Detection in Large Multimodal User Behavior Data //Lobachevskii Journal of Mathematics, 2025. – С. 3647-3661.

Предлагаемое решение.

Оценка степени типичности (3).

- $u_j = \left[1 + \left(\frac{d_j(a)}{\mu} \right)^{\frac{1}{m-1}} \right]^{-1}$,
- $d_j = \|z_i - a\|_C^2 = (\Phi(z_i) - a)^T * C^{-1} * (\Phi(z_i) - a)$,
 - расстояние Махалонобиса до центра кластера,
- $\Phi(x): \mathbb{R}^S \rightarrow H$
 - ядровая функция преобразования пространства признаков в некоторое новое пространство H большей размерности.
- m – степень нечёткости.
- Обучаемые параметры:
 - $C > 0$ – матрица ковариаций,
 - $\mu > 0$ – радиус кластера, для которого степень типичности равна 0.5,
 - a – центр построенного кластера нормальных данных.

Предлагаемое решение. Регуляризация.

Цели:

- избежание переобучения,
- нормализация признаков.

Используемые
подходы:

- L2-регуляризация свёрточных слоёв;
- Использование подходов, основанных на само-нормализующихся сетях¹:
 - использование функции SELU в свёрточных слоях,
 - AlphaDropout слой перед слоем нечёткой кластеризации.

*текст

Предлагаемое решение.

Обучение.

- Решение задачи одноклассовой классификации,
- $$\begin{cases} \min_{w,b,a,C,\mu} \mathcal{L}(w, b, a, C, \mu), \\ \mathcal{L}(w, b, a, C, \mu) = \sum_{i=1}^F \mathcal{L}_{L2}^i + \mathcal{L}_{fuzzy} + \mathcal{L}_{out}, \\ C > 0, \mu > 0 \end{cases}$$
- $\mathcal{L}_{fuzzy} = \sum_{i=1}^V (u_i * d_i(a)),$
- $\mathcal{L}_{out} = \frac{1}{V} \sum_{i=1}^V (y_i - 1)^2,$
- решение задачи оптимизации – алгоритмом RMSProp,
- разбиение обучающей выборки на V батчей (фрагментов),
- F – число слоёв в параллельной свёртке.



Содержание

- Введение.
- Аналитический обзор решения поставленной задачи.
- Построение модели обнаружения предотказного состояния системы.
- Экспериментальная оценка предлагаемого решения.
- Программная реализация.
- Заключение.
- Список литературы.

*текст

Сравнение с существующими подходами

Набор данных	Подход	ROC AUC			PR AUC		
		Медиана	Q1	Q3	Медиана	Q1	Q3
HDFS1	OCSVC	0.833	0.826	0.837	0.828	0.821	0.832
	Fuzzy	0.858	0.851	0.862	0.853	0.847	0.856
	<i>LogBERT</i>	0.9	0.894	0.907	0.901	0.898	0.911
	FuzzyCNN	0.973	0.971	0.974	0.97	0.969	0.972
BGL	OCSVC	0.783	0.779	0.789	0.778	0.772	0.783
	Fuzzy	0.834	0.821	0.845	0.827	0.82	0.83
	<i>LogBERT</i>	0.908	0.901	0.912	0.898	0.893	0.901
	FuzzyCNN	0.939	0.934*_{текст}	0.94	0.921	0.916	0.926

Исследование устойчивости к выбросам

Набор данных	Процент выбросов	ROC AUC			PR AUC		
		Медиана	Q1	Q3	Медиана	Q1	Q3
HDFS1	20%	0.959	0.96	0.963	0.95	0.953	0.963
	50%	0.937	0.93	0.94	0.944	0.94	0.949
BGL	20%	0.846	0.84	0.85	0.872	0.871	0.874
	50%	0.805	0.8	0.81	0.845	0.843	0.848

*текст



Содержание

- Введение.
- Аналитический обзор решения поставленной задачи.
- Построение модели обнаружения предотказного состояния системы.
- Экспериментальная оценка предлагаемого решения.
- Программная реализация.
- Заключение.
- Список литературы.

*текст

Примеры обнаружения предотказного состояния (1)

- Наличие критической ошибки:
 - RAS KERNEL INFO critical input interrupt warning for torus y wire
 - RAS KERNEL INFO critical input interrupt warning for torus z wire
 - RAS KERNEL INFO critical input interrupt warning for torus y wire
 - RAS KERNEL INFO critical input interrupt warning for torus z wire
 - ***RAS KERNEL FATAL external input interrupt torus sender x retransmission error was corrected***
 - ***Вероятность отказа: 0.9824644.***
- Блоки, где система обнаружила ошибки и смогла их исправить, но произошёл отказ:
 - RAS KERNEL INFO ciod generated core files for program
 - RAS KERNEL INFO instruction cache parity error corrected
 - RAS KERNEL INFO torus receiver x input pipe errors dcr detected and corrected
 - RAS KERNEL INFO torus receiver z input pipe errors dcr detected and corrected
 - RAS KERNEL INFO torus receiver y input pipe errors dcr detected and corrected
 - ***Вероятность отказа: 0.98334394.***

Примеры обнаружения предотказного состояния (2)

- Блок, не содержащий отказ:
 - RAS KERNEL INFO microseconds spent in the rbs signal handler...
 - RAS KERNEL INFO CE sym at mask
 - RAS KERNEL INFO total interrupts ***critical input interrupts...***
 - RAS KERNEL INFO microseconds spent in the rbs signal handler...
 - RAS KERNEL INFO total interrupts ***critical input interrupts...***
 - ***Вероятность отказа: 0.2430820999999996.***



Содержание

- Введение.
- Аналитический обзор решения поставленной задачи.
- Построение модели обнаружения предотказного состояния системы.
- Экспериментальная оценка предлагаемого решения.
- Программная реализация.
- Заключение.
- Список литературы.

